

## Evaluating the Efficiency of the SEBS Model in Estimating Actual Evapotranspiration: Emphasizing the Role of Flood Spreading in Sustainable Water Resources Management in the Chandab Plain, Tehran

Rahman Sharifi<sup>1</sup>, Fatemeh Barzegari Banadkooki<sup>2\*</sup>, Ghobad Rostamizad<sup>3</sup>

Received: 09-03-2025, Revised 08-04-2025, Accepted: 07-02-2025, Published: 09-06-2025

<https://doi.org/10.22034/19.68.5>

### Extended abstract

### Introduction

Water resource management in arid and semi-arid regions has consistently posed a fundamental challenge due to limited precipitation and increasing demand. In these regions, the accurate estimation of actual evapotranspiration (ET<sub>a</sub>) plays a crucial role in the planning and optimal management of water resources, the allocation of water to various sectors (agriculture, industry, potable water), and drought management. Evapotranspiration is a complex process influenced by many factors, including climatic conditions, soil characteristics, vegetation type, and land management practices. Various models have been developed to estimate actual evapotranspiration. Ground-based models, such as lysimeter and heat flux measurements, are accurate but require expensive equipment and specialized personnel, and are typically limited to local scales. Conversely, satellite-based models offer the potential to estimate evapotranspiration on a broad scale and at a lower cost. The Surface Energy Balance System (SEBS) model is a widely used model for estimating actual evapotranspiration that operates based on the surface energy balance. Utilizing satellite and meteorological data, this model calculates sensible heat flux, latent heat flux (evapotranspiration), soil heat flux, and net radiation. The primary objective of this research is to calibrate and validate the SEBS model in the Chandab Plain of Tehran and to analyze the effects of flood spreading on the spatial distribution of evapotranspiration which is located in an arid and semi-arid region, the Chandab Plain faces water scarcity challenges. Evaluating the effects of flood spreading on evapotranspiration can contribute to a better understanding of the impacts of this method on water resource management in the region.

### Materials and Methods

The study area for this research is the Chandab Plain, located in the southeastern part of Tehran. To implement the SEBS model, several datasets were utilized. Landsat 8 satellite imagery, with a spatial resolution of 30 meters, was downloaded from the United States Geological Survey (USGS) website. Prior to analysis, the imagery underwent essential pre-processing steps, including geometric and atmospheric corrections, to ensure data quality. Additionally, meteorological data—such as temperature,

1. Assistant Professor of Soil Conservation and Watershed Management Department, Tehran Agricultural and Natural Resources Research Center, AREEO, Tehran, Iran.

2. Associate Professor of Engineering Department, Payame Noor University, Tehran, Iran. Corresponding Authors: Email:Barzegari@2pnu.ac.ir.

3. Assistant Professor of Soil Conservation and Watershed Management Department, Zanjan Agricultural and Natural Resources Research Center, AREEO, Zanjan, Iran.

humidity, wind speed, and solar radiation—were gathered from synoptic meteorological stations situated near the study area. These meteorological variables provided the necessary inputs for the SEBS model. Ground-based measurements, particularly soil moisture data collected from various locations within the Chandab Plain, were also employed to calibrate the model and evaluate its accuracy. The SEBS model was implemented using the aforementioned data. A genetic algorithm-based optimization method was employed for model calibration. In this method, the various parameters of the SEBS model were adjusted to maximize the agreement between the model output and the ground-based soil moisture data. Following model calibration, actual evapotranspiration was calculated for the entire study area using the calibrated model. To evaluate the effects of flood spreading, areas affected by flood spreading were identified using satellite imagery and field visits. Subsequently, maps of evapotranspiration in flood-affected and unaffected areas were compared. The accuracy of the SEBS model was assessed using statistical indices, including the coefficient of determination ( $R^2$ ) and the mean absolute error (MAE).

### Results and Discussion

The findings of this research demonstrated that the SEBS model, when subjected to precise calibration, exhibits a strong capability for accurately estimating actual evapotranspiration in the Chahdabab Plain of Tehran. A comparative analysis of evapotranspiration maps between areas influenced by flood spreading and those unaffected revealed that flood spreading significantly reduces evapotranspiration rates. On an average, flood spreading resulted in a 15% reduction in actual evapotranspiration. This decrease is mainly attributed to enhanced soil moisture content, improved physiological conditions of vegetation, and reduced water stress experienced by plants in flood-affected areas. Additionally, the results indicated that flood spreading is vital in facilitating groundwater recharge, increasing the soil's water retention capacity, and promoting healthier and more sustainable plant growth. Over time, these impacts contribute significantly to the long-term sustainability of water resources and the ecological stability of the region. The SEBS model outputs were systematically compared with field measurements to assess the accuracy of the model's predictions. Statistical indices such as the coefficient of determination ( $R^2$ ) and the mean absolute error (MAE) were employed for validation. The statistical evaluation showed that the  $R^2$  value was 0.68 and the MAE was 0.48 mm per day, indicating a satisfactory level of accuracy and validating the effectiveness of the SEBS model under the climatic conditions of the Chahdabab Plain.

### Conclusion

This study demonstrates that the SEBS model can serve as an effective tool for estimating actual evapotranspiration in arid and semi-arid regions. The findings reveal that precise calibration using local data significantly enhances the model's predictive performance. These results emphasize the importance of integrating accurate climatic, topographic, and vegetation information to improve the reliability of evapotranspiration models. Furthermore, the evaluation of flood spreading impacts indicates that this technique can be adopted as an efficient strategy for water resource management. By increasing soil moisture, reducing surface temperatures, and enhancing the physiological condition of plants, flood spreading contributes to lower agricultural water consumption and improved crop yields. Additionally, this process supports groundwater recharge and facilitates the restoration of water-dependent ecosystems. The observed reduction in evapotranspiration following flood spreading interventions highlights the effectiveness of this approach in conserving water resources and promoting sustainable agricultural development. The outcomes of this research offer valuable insights for designing comprehensive water management programs in arid and semi-arid regions. Moreover, they provide practical strategies for strengthening the resilience of vulnerable ecosystems to the adverse impacts of climate change. Overall, the findings underscore the critical role of flood spreading and precise modeling techniques in advancing sustainable water and agricultural practices in water-scarce environments.

**Keywords:** Water Resources Management, Remote Sensing, Evapotranspiration (ET), Hydrological Balance.

**Article Type:** Research Article

#### Acknowledgments

The authors would like to thank all those who contributed to the development of this study.

#### Conflicts of Interest

The authors of this article declare that they have no conflict of interest regarding the writing and publication of the content and findings of this research.

#### Data Availability Statement

The data and findings of this research will be available upon request through correspondence with the corresponding author

#### Authors' Contributions

Rahman Sharifi: Field research, data analysis.

Fatemeh Barzgari: Manuscript writing, literature review, revision, and analysis.

Ghobad Rostamizad: Software, data analysis.

Citation: Sharifi R, Barzegari Banadkooki F, Rostamizad G. Evaluating the Efficiency of the SEBS Model in Estimating Actual Evapotranspiration: Emphasizing the Role of Flood Spreading in Sustainable Water Resources Management in the Chandab Plain, Tehran. jwmseir 2025; 19 (68): 64-77

Iran-Watershed Management Science & Engineering, Year 2025, Vol 19, No 68, PP 64-77

Publisher: Watershed Management Society of Iran

© Author(s)



# ارزیابی مدل SEBS در تخمین تبخیر و تعرق واقعی با تأکید بر مدیریت پایدار منابع آب دشت چنداب تهران

رحمان شریفی<sup>۱</sup>، فاطمه بزرگری بنادکوکی<sup>۲</sup>، قباد رستمی زاد<sup>۳</sup>

تاریخ دریافت: ۱۴۰۳/۱۲/۱۹، تاریخ داوری: ۱۴۰۴/۰۱/۱۹، تاریخ پذیرش: ۱۴۰۴/۰۲/۱۷، تاریخ انتشار: ۱۴۰۴/۰۳/۱۹

<https://doi.org/10.22034/19.68.5>

## چکیده

مدیریت منابع آب در مناطق خشک و نیمهخشک همواره به دلیل بارندگی محدود و افزایش تقاضا برای آب با چالش‌های اساسی مواجه بوده است. در این مناطق، برآوردهای دقیق تبخیر و تعرق واقعی (ETa) نقش حیاتی در برنامه‌ریزی و مدیریت بهینه منابع آب، تخصیص آب در بخش‌های مختلف و مقابله با خشکسالی ایفا می‌کند. هدف اصلی این پژوهش، کالیبراسیون و اعتبارسنجی مدل SEBS برای برآوردهای تبخیر و تعرق واقعی در دشت چنداب تهران و بررسی تأثیر پخش سیلاپ بر توزیع مکانی تبخیر و تعرق است. مدل SEBS که بر اساس توازن انرژی سطح عمل می‌کند، از داده‌های ماهواره‌ای و هواشناسی برای محاسبه شار گرمای محسوس، گرمای نهان، شار گرمای خاک و تابش خالص بهره می‌برد. در این پژوهش از تصاویر ماهواره‌ای Landsat 8 و داده‌های هواشناسی مانند دما، رطوبت، سرعت باد و تابش خورشیدی، به همراه داده‌های رطوبت خاک از ایستگاه‌های زمینی استفاده شده است. برای کالیبراسیون مدل، از الگوریتم ژنتیک بهره گرفته شد تا تطابق بین خروجی مدل و داده‌های زمینی به حد اکثر بررسد. نتایج نشان داد که مدل SEBS پس از کالیبراسیون دقیق، توانایی بالایی در برآوردهای تبخیر و تعرق واقعی دارد. همچنین مقایسه بین نواحی تحت تأثیر پخش سیلاپ و نواحی شاهد نشان داد که پخش سیلاپ به طور میانگین باعث کاهش ۱۵ درصدی تبخیر و تعرق واقعی می‌شود. این کاهش به دلیل افزایش رطوبت خاک، بهبود وضعیت فیزیولوژیکی گیاهان و کاهش تنفس آبی حاصل شده است. یافته‌ها نشان می‌دهد که پخش سیلاپ می‌تواند راهکاری مؤثر برای افزایش ذخایر آب زیرزمینی، حفظ رطوبت خاک و ارتقای پایداری زیستمحیطی در مناطق خشک و نیمهخشک باشد.

**کلیدواژه‌ها:** مدیریت منابع آب، سنجش از دور، تبخیر و تعرق، بیلان آبی.

نوع مقاله: پژوهشی

استناد: شریفی رحمان، بزرگری بنادکوکی فاطمه، رستمی زاد قباد. ارزیابی مدل SEBS در تخمین تبخیر و تعرق واقعی با تأکید بر مدیریت پایدار منابع آب دشت چنداب تهران. علوم و مهندسی آبخیزداری ایران ۱۴۰۴؛ ۱۹(۶۸): ۶۴-۷۷

علوم و مهندسی آبخیزداری ایران، سال ۱۴۰۴، دوره ۱۹، شماره ۶۸، صفحه ۶۴-۷۷



© نویسنده‌گان

ناشر: انجمن آبخیزداری ایران

- ۱- استادیار مرکز تحقیقات و آموزش کشاورزی و منابع طبیعی استان تهران، سازمان تحقیقات و آموزش و ترویج کشاورزی (تات)، ورامین، ایران.
- ۲- دانشیار دانشکده فنی مهندسی، دانشگاه پیام نور، تهران، ایران. نویسنده مسئول: Email: Barzegari@pnu.ac.ir
- ۳- استادیار مرکز تحقیقات و آموزش کشاورزی و منابع طبیعی استان زنجان، سازمان تحقیقات و آموزش و ترویج کشاورزی (تات)، زنجان، ایران.

استفاده نمودند و تطابق نتایج مدل SEBS با داده‌های واقعی را تائید نمودند [۱۰-۷، ۲]. در ایران نیز کاربرد این مدل برای مناطق مختلف از جمله دشت گربایگان، نیشابور، زنجان و حوضه آبریز ارومیه بررسی شده است. در این مطالعات، اگرچه تطابق نتایج SEBS با داده‌های واقعی تأیید شده، اما واسنجی دقیق مدل برای شرایط هر منطقه نیز توصیه شده است [۱۱-۱۳]. نتایج پژوهش‌های موجود تأیید می‌کند که مدل SEBS ابزار مناسبی برای برآورد تبخیر و تعرق در مناطق مختلف است، به ویژه در مناطقی که دسترسی به داده‌های زمینی محدود است. با این حال، به کارگیری این مدل نیازمند دقت در تنظیم پارامترها و تحلیل داده‌ها است. به عنوان مثال، دقت ورودی‌های ماهواره‌ای مانند دمای سطح زمین، شاخص‌های پوشش گیاهی و داده‌های جوی بر خروجی‌های مدل تأثیر قابل توجهی دارد [۱۴]. به عنوان نمونه، در مناطق با تغییرات شدید زمانی یا مکانی در پارامترهای اقلیمی، مدل SEBS نیازمند اصلاحات و تنظیمات بیشتری است تا بتواند دقت نتایج را تضمین کند. در همین راستا، مطالعه‌ای در سال ۲۰۱۹ توسط ادیب و همکاران نشان داد که تخمین تبخیر-تعرق واقعی با استفاده از مدل SEBS به ورودی‌هایی مانند دمای سطح زمین (LST<sup>۳</sup>)، شار تابشی کوتاه موج ورودی به سطح (DSSF<sup>۴</sup>)، پارامترهای آثrodinamیکی، شاخص سطح برگ (LAI<sup>۵</sup>) و کسر پوشش گیاهی (FVC<sup>۶</sup>) حساس است. این مطالعه تأکید می‌کند که در مناطقی با تغییرات شدید در این پارامترها، تنظیمات دقیق‌تری برای مدل SEBS مورد نیاز است تا دقت نتایج بهبود یابد [۱۵]. همچنین، پژوهشگران توصیه می‌کنند که برای افزایش دقت مدل، از داده‌های مشاهده‌ای زمینی انجام گیرد. در نهایت، مدل نتایج مدل با داده‌های مشاهده‌ای زمینی انجام گیرد. در نهایت، مدل SEBS به عنوان یک ابزار قوی در مطالعات تبخیر و تعرق پیشنهاد می‌شود، به شرط آنکه محدودیت‌ها و نیازمندی‌های آن مورد توجه قرار گیرد و از داده‌های ورودی دقیق و فرآیندهای صحبت‌سنجدی مناسب استفاده شود.

مطالعه حاضر، برای اولین بار مدل SEBS را در دشت چنداب تهران واسنجی و صحبت‌سنجدی می‌کند و با ارائه نقشه‌های دقیق مکانی و زمانی، تأثیر پخش سیالاب بر توزیع تبخیر-تعرق را بررسی می‌کند. در همین راستا، واسنجی مدل SEBS برای برآورد دقیق تبخیر-تعرق واقعی در دشت چنداب تهران، تحلیل اثرات پخش سیالاب بر تبخیر-تعرق در این منطقه و ارائه نقشه‌های مکانی برای مدیریت بهتر منابع آب و ارزیابی تغییرات مکانی و زمانی تبخیر-تعرق هدف‌های مورد مطالعه بوده است.

با وجود اینکه ساختار مدل SEBS در مطالعات متعددی در ایران و خارج از کشور مورد استفاده قرار گرفته، تحقیق حاضر از دو دیدگاه دارای وجه تمایز و نوآوری است. اول این که مطالعه حاضر،

3. Land Surface Temperature

4. Downward Shortwave Surface Flux

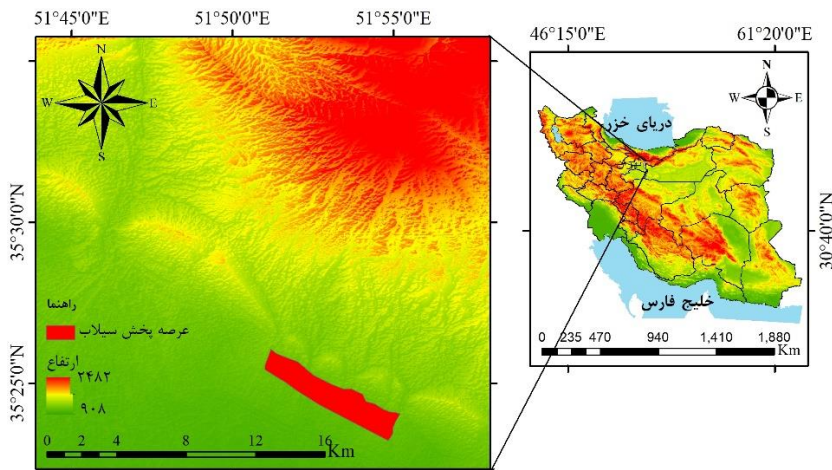
5. Leaf Area Index

6. Fractional Vegetation Cover

در مناطق خشک و نیمه‌خشک، مدیریت منابع آب چالشی جدی است. تبخیر و تعرق نیز به عنوان یکی از مهم‌ترین ملاک‌های مدیریت منابع آبی و اقلیمی از اهمیت قابل توجهی برخوردار است. این فرآیند به عنوان رکن اساسی در گردش آب در اقلیم‌های مختلف و موازنۀ آب خاک و نیز به منظور افزایش بازده منابع آبی و کشاورزی مطرح می‌شود [۱]. شرایط اقلیمی کم باران و از طرفی بارش‌های ناگهانی و سیل‌آسا منجر به راهبردهای مدیریتی متفاوتی در مناطق خشک و نیمه‌خشک شده است. پخش سیالاب به عنوان یکی از این راهکارها با هدف افزایش تغذیه سفره‌های زیرزمینی در دشت‌های خشک و نیمه‌خشک اجرا می‌شود. با این حال، پرسش‌های مهمی درباره سهم برداشت آب توسط انواع کاربری‌ها و میزان تبخیر-تعرق وجود دارد که پاسخ به آن‌ها می‌تواند راهگشای مدیریت بهینه منابع آبی باشد. دشت چنداب تهران، یکی از مناطق بحرانی از نظر کاهش سطح آب‌های زیرزمینی، تحت تأثیر پخش سیالاب قرار دارد. در چنین مناطقی، تبخیر-تعرق واقعی (ET<sub>a</sub><sup>۱</sup>) یکی از مهم‌ترین پارامترهای چرخه هیدرولوژی است. سهم بالای تبخیر-تعرق از کل بیلان آبی منطقه، نیاز به برآورد دقیق این پارامتر را به ویژه در شرایط کمبود منابع آبی آشکار می‌کند [۲]. استفاده از روش‌های مرسوم مانند لایسیمتر برای اندازه‌گیری تبخیر-تعرق در مقیاس‌های مکانی بزرگ به دلیل محدودیت‌های زمانی و اقتصادی عملی نیست [۴]. در نتیجه، نیاز به ابزارهایی برای تخمین دقیق تر تبخیر و تعرق واقعی افزایش یافته است. مطالعاتی نیز در این زمینه انجام شده که بیانگر لزوم استفاده از روش‌های نوین و ترکیبی در برآورد تبخیر و تعرق است. به عنوان مثال کاظمی و جعفرپور در سال ۱۴۰۳ با بهره‌گیری از مدل‌های مبتنی بر داده‌های ماهواره‌ای و تحلیل مکانی-زمانی نشان دادند که ترکیب اطلاعات سنجش از دور با داده‌های هواشناسی و الگوریتم‌های مدل‌سازی می‌تواند بر دقت نتایج بیافزاید [۱۹]. مدل SEBS<sup>۲</sup> (سطح انرژی بر اثری بر مبنای سنجش از دور) از جمله مدل‌های پیشرفته برای برآورد تبخیر و تعرق است. این مدل بر اساس توزیع انرژی در سطح زمین و با استفاده از داده‌های ماهواره‌ای توسعه یافته و در سال‌های اخیر به طور گسترده‌ای استفاده شده است [۵]. تحقیقات نشان داده‌اند که مدل‌های بیلان انرژی مانند SEBS در ارائه نقشه‌های مکانی و زمانی دقیق از توزیع تبخیر-تعرق موفق عمل می‌کنند و اطلاعات ارزشمندی را برای تصمیم‌گیری در مورد مدیریت آب ارائه می‌دهند [۲]. تحقیقات مختلفی در سطح جهان به بررسی کارایی مدل SEBS پرداخته‌اند. در مطالعه‌ای در حوضه رودخانه داون، مدل SEBS با استفاده از داده‌های لندست ۸۰ داده‌های هواشناسی برای تخمین تغییرات مکانی و زمانی تبخیر و تعرق به کار گرفته شد و دقت بالایی نشان داد [۶]. اخیراً محققین دیگری از این مدل برای تخمین تبخیر و تعرق در مقیاس‌های بزرگ

1. Actual Evapotranspiration

2. Surface Energy Balance System



شکل ۱- موقعیت منطقه مورد مطالعه در کشور و استان تهران

**Fig 1. The location of the study area within the country and Tehran Province**

و برخی اطلاعات مورد نیاز دیگر از ایستگاه سینوپتیک تهران که در ۷۳ کیلومتری آن قرار دارد اخذ شده است [۲۳].

مراحل انجام این پژوهش مطابق فرایند ارائه شده در شکل ۲ است.

#### داده‌های مورد نیاز پژوهش

داده‌های استفاده شده در این پژوهش شامل موارد زیر هستند.

#### تصاویر ماهواره‌ای

تصاویر لندست ۸ برای استخراج شاخص‌های گیاهی<sup>(۱)</sup>، دمای سطح زمین<sup>(۲)</sup> و آلیدوی سطحی استفاده شدند. ماهواره لندست ۸ با داشتن دو حسگر OLI<sup>۳</sup> برای ثبت تصاویر در طیف مرئی و مادون قرمز نزدیک و حسگر TIRS<sup>۴</sup> برای ثبت تصاویر حرارتی، امکان محاسبه پارامترهای مورد نیاز برای مدل‌سازی تبخیر و تعرق را فراهم می‌سازد [۱۶]. به منظور پوشش کامل دوره رویشی کشتزارها و کاهش اثرات ناشی از ابر و شرایط نامساعد جوی، تعداد ۷۰ تصویر از این ماهواره با حداکثر پوشش ابر ۱۰ درصد از طریق وب‌سایت USGS انتخاب و دانلود شد. در تصاویر انتخابی، آخرین تصویر مربوط به زمان اکثر مطابق با مهر ۱۴۰۰ بوده است. تصاویر براساس سال آبی در بازه زمانی مهر ۹۷ تا آخر شهریور ۹۸ (۲۰۱۹/۰۸/۳۱ تا ۲۰۱۸/۰۹/۰۱)، مهر ۹۸ تا آخر شهریور ۹۹ (۲۰۲۰/۰۸/۳۱ تا ۲۰۱۹/۰۹/۰۱)، مهر ۹۹ تا آخر شهریور ۱۴۰۰ (۲۰۲۰/۰۹/۰۱ تا ۲۰۲۱/۰۸/۳۱) انتخاب و بررسی تصاویر مربوطه انجام شد.

#### داده‌های هواشناسی

به منظور تکمیل داده‌های سنجش از دور و تأمین پارامترهای مورد نیاز مدل SEBS، از داده‌های هواشناسی ساعتی ایستگاه هواشناسی

موردي خاص و کمتر بررسی شده است. منطقه دشت چنداب در استان تهران با ویژگی‌های خاص اقلیمی، توپوگرافی و مدیریت منابع آب، تاکنون در زمینه برآورد تبخیر-تعرق واقعی با استفاده از مدل SEBS به صورت هدفمند مورد بررسی قرار نگرفته است. انتخاب این منطقه به عنوان نمونه‌ای از مناطق نیمه‌خشک با منابع آبی محدود، به روشن شدن عملکرد مدل در شرایط خاص هیدرولوژیکی کمک می‌کند. نواوری دوم مربوط به کاربرد مدل در بستر مدیریت سیالاب و بهره‌برداری از آن در تحلیل کارایی پخش سیالاب است. برخلاف برخی مطالعات که صرفاً بر ارزیابی دقیق مدل SEBS تمرکز دارند، در این پژوهش تأثیر پخش سیالاب بر کاهش تبخیر-تعرق نیز تحلیل شده که به سیاست‌گذاری منابع آب کمک می‌کند.

## مواد و روش‌ها

### منطقه مطالعه

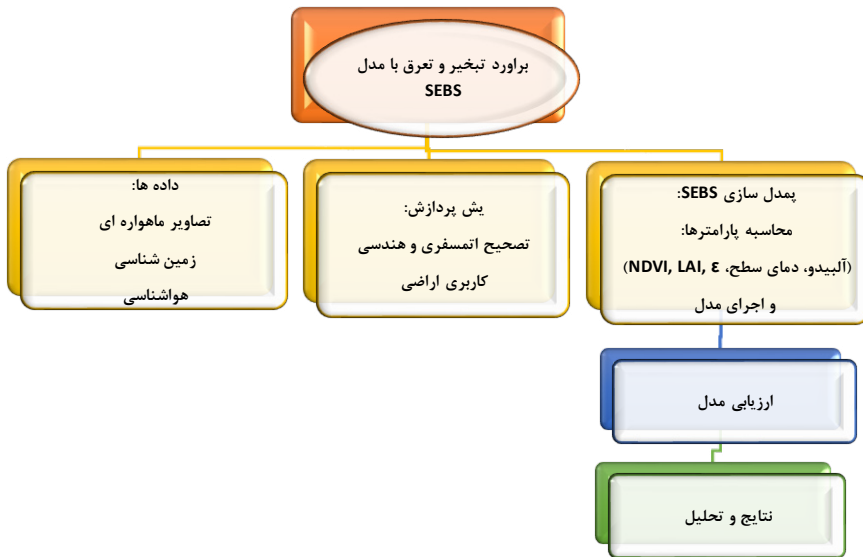
ایستگاه پخش سیالاب چنداب با موقعیت جغرافیایی ۵۱° و ۵۱° تا ۴۷° و ۵۲° طول شرقی و ۲۲° و ۳۵° عرض شمالی، در شرق شهرستان پاکدشت قرار گرفته است (شکل ۱). این آبخوان در مساحتی حدود ۲۰۰۰ هکتار بر روی مخروط افکنه‌ای با رسوبات درشت دانه باقیمانده از جریانات رودخانه‌ای دوران چهارم تشکیل شده است. حداکثر ارتفاع حوزه آبخیز ۲۶۲۰ متر و حداقل ارتفاع در محل خروجی ۸۸۰ متر از سطح دریا است. ارتفاع متوسط حوضه ۱۴۸۸ متر است. بارش متوسط سالانه ۱۸۷ میلی‌متر و متوسط تبخیر ۲۵۰۰ میلی‌متر است. حداقل متوسط دما -۲ و حداکثر ۲۶/۱ درجه سانتی‌گراد و متوسط شبیه منطقه ۵ درصد است. حوزه آبخیز چنداب از شمال به حوضه ایوانکی و از غرب به حوضه امامک محدود شده است. در حالت وسیع تر، منطقه از لحاظ توپوگرافی در عرصه دشتی وسیع که متصل به کویر مرکزی است واقع شده و به همین لحاظ می‌توان آن را به عنوان دروازه ورود به کویر محسوب نمود. ایستگاه هواشناسی تبخیرسنجی در داخل محدوده پخش سیالاب قرار دارد

1. Normalized Difference Vegetation Index

2. Land Surface Temperature

3. Operational Land Imager

4. Thermal Infrared Sensor



شکل ۲- فرایند انجام تحقیق  
Fig 2. Research flowchart

ب) تهیه نقشه کاربری اراضی: به منظور شناسایی و تفکیک کاربری‌های مختلف اراضی منطقه مورد مطالعه، از الگوریتم طبقه‌بندی نظارت‌شده ۳ در نرم‌افزار ENVI 5.3 استفاده شد. در این روش، با استفاده از نمونه‌های آموزشی جمع‌آوری شده از طریق بازدید میدانی و تصاویر با تفکیک مکانی بالا مانند تصاویر گوگل ارث، الگوهای طیفی مربوط به هر کاربری اراضی (مانند گندم، جو، اراضی بایر و ...) تعیین شدند. سپس، با استفاده از الگوریتم (MLC<sup>4</sup>، هر پیکسل تصویر بر اساس شباهت طیفی آن به نمونه‌های آموزشی، به یکی از کاربری‌های اراضی نسبت داده شد. دقت نقشه کاربری اراضی با استفاده از ماتریس خطأ و شاخص کاپا<sup>5</sup> ارزیابی شد [۱۸، ۲۰].

#### مدل‌سازی تبخیر و تعرق با استفاده مدل SEBS

در این پژوهش، از مدل SEBS برای برآورد تبخیر و تعرق واقعی استفاده شد. این مدل با استفاده از داده‌های سنجش از دور و هواشناسی، تراز انرژی سطحی را محاسبه کرده و شار حرارتی نهان (LE<sup>6</sup>) را به عنوان باقیمانده تراز انرژی تخمین می‌زند [۳]. مراحل کار با مدل مذکور به شرح آمده است.

#### الف) محاسبه پارامترهای ورودی مدل

پارامترهای ورودی مدل SEBS شامل آلبیدو ( $\alpha$ )، دمای سطح (LST)، شاخص پوشش گیاهی (NDVI)، شاخص سطح برگ (LAI) و میزان گسیل‌مندی سطح ( $\epsilon$ ) با استفاده از تصاویر لندست ۸ تصویر شده و با بهره‌گیری از توابع و الگوریتم‌های موجود در نرم‌افزار ENVI 5.3 محاسبه شدند. آلبیدو ( $\alpha$ ): آلبیدو یا بازتابندگی سطح، نسبت انرژی بازتابیده

ورامین استفاده شد. این ایستگاه به عنوان نزدیک‌ترین ایستگاه هواشناسی به منطقه مورد مطالعه انتخاب شد و داده‌های مربوط به دما (حداکثر، حداقل و میانگین)، رطوبت نسبی (حداکثر، حداقل و میانگین)، سرعت باد و تابش خورشیدی در طول دوره زمانی مورد مطالعه (۱۳۹۷ تا ۱۴۰۰) از این ایستگاه جمع‌آوری شدند.

#### داده‌های زمینی

ابتدا نمونه‌برداری از خاک برای تعیین بافت، رطوبت و هدایت هیدرولیکی انجام شد و سپس داده‌های حاصل از پروفیل‌های خاک در عمق‌های مختلف، برای صحبت‌سنگی مدل مورد استفاده قرار گرفتند.

#### پیش پردازش داده‌ها

به منظور افزایش دقت و قابلیت اطمینان نتایج، ابتدا داده‌های سنجش از دور و هواشناسی مورد پیش‌پردازش قرار گرفتند. این پیش‌پردازش‌ها شامل دو مرحله بودند:

الف) تصحیحات اتمسفری و هندسی: تصاویر لندست ۸ پس از دریافت و به منظور اطباق دقیق با سیستم تصویر و موقعیت جغرافیایی مورد مطالعه، ابتدا تحت تصحیحات هندسی قرار گرفتند. سپس، تصحیحات اتمسفری با استفاده از الگوریتم DOS<sup>1</sup> و پلاگین QUAC<sup>2</sup> [۱۷، ۲۵] در نرم‌افزار ENVI 5.3 اعمال شد. الگوریتم DOS یک روش ساده و پرکاربرد برای حذف اثرات پراکنش اتمسفری است، در حالی که پلاگین QUAC یک روش پیشرفته‌تر است که با استفاده از اطلاعات طیفی تصاویر، اثرات جذب و پراکنش توسط گازها و ذرات معلق در اتمسفر را تصحیح می‌کند. این تصحیحات به منظور بازیابی بازتابندگی واقعی سطح زمین و کاهش خطأ در محاسبات بعدی ضروری است.

3. Supervised Classification

4. Maximum Likelihood Classifier

5. Kappa

6. Latent Heat Flux

1. Dark Object Subtraction  
2. Quick Atmospheric Correction

انرژی حرارتی را نشان می‌دهد و به نوع سطح و رطوبت آن بستگی دارد [۲۹]. در این پژوهش، گسیل‌مندی سطح با استفاده از نقشه کاربری اراضی و با استفاده از مقادیر گسیل‌مندی مربوط به هر کاربری اراضی تعیین شد؛ که در رابطه (۶) ارائه شده است.

$$LSE = (0.004 * FC) + (0.986) \quad (6)$$

که، LSE گسیل‌مندی و FC درصد پوشش گیاهی می‌باشد.

#### ب) اجرای مدل SEBS

مدل SEBS با استفاده از زبان اسکریپت‌نویسی در برنامه ILWIS و با استفاده از پارامترهای ورودی حاصل از داده‌های ماهواره‌ای و هواشناسی اجرا شد. این مدل، شار حرارتی نهان (LE) را به عنوان باقیمانده تراز انرژی سطحی با استفاده از روابط تراز انرژی محاسبه می‌کند [۲]. تراز انرژی سطحی به صورت رابطه (۷) بیان می‌شود.

$$Rn = G + H + LE \quad (7)$$

که در آن  $Rn$  (تابش خالص) یا تفاوت بین تابش ورودی و خروجی در سطح زمین ( $W/m^2$ )،  $G$  (شار حرارتی خاک) یا انرژی منتقل شده به خاک از طریق هدایت حرارتی ( $W/m^2$ )،  $H$  (شار حرارتی محسوس) یا انرژی منتقل شده به اتمسفر از طریق همرفت ( $W/m^2$ )،  $LE$  (شار حرارتی نهان) معادل انرژی مصرف شده در تبخیر آب از سطح زمین ( $W/m^2$ ) است.

مدل SEBS با استفاده از الگوریتم‌های مختلف، هر یک از این اجزا را محاسبه کرده و در نهایت شار حرارتی نهان را به دست می‌آورد.

#### محاسبه اجزای تعادل انرژی در مدل SEBS

##### تابش خالص ( $Rn$ )

تابش خالص از تفرقی تابش موج کوتاه خروجی ( $\downarrow\alpha RS$ ) و تابش موج بلند خروجی ( $\sigma Ts^4$ ) از تابش موج کوتاه ورودی ( $\downarrow RS$ ) و تابش موج بلند ورودی ( $\downarrow RL$ ) بر اساس رابطه (۸) محاسبه می‌شود.

$$Rn = (1 - \alpha) RS \downarrow + RL \downarrow - \sigma Ts^4 \quad (8)$$

که در آن،  $\downarrow RS$  (تابش موج کوتاه ورودی) یا تابش خورشیدی وارد شده به سطح زمین ( $W/m^2$ )،  $\alpha$  (بازتاب سطحی) یا نسبت تابش موج کوتاه بازتاب شده به تابش موج کوتاه ورودی (بی‌بعد)،  $\downarrow RL$  (تابش موج بلند ورودی از اتمسفر به سطح زمین ( $W/m^2$ )) (ضریب تشعشع) یا توانایی سطح در انتشار تابش حرارتی (بی‌بعد)،  $\sigma$  (ثابت استفان-بولتزمن) معادل  $10^{-8} \times 5/67 W/m^2/K^4$  دمای رادیومتری سطح زمین (K) است.

##### شار حرارتی خاک (G)

شار حرارتی خاک به عنوان کسری از تابش خالص تخمین زده می‌شود که در رابطه (۹) بیان شده است.

$$G = C * Rn \quad (9)$$

که در آن  $C$  (ضریب شار حرارتی خاک)، ضریبی که به نوع پوشش گیاهی و رطوبت خاک بستگی دارد (بی‌بعد). مقادیر معمول برای  $C$  در محدوده  $0.05$  تا  $0.45$  قرار دارد [۳۱].

##### شار حرارتی محسوس (H)

شده از سطح به انرژی تابیده شده به سطح است و نقش مهمی در تعیین تراز انرژی سطحی ایفا می‌کند [۲۱]. در این پژوهش، آلبیدوی باند پنهان با استفاده از روابط تجربی ارائه شده توسط Liang ۲۰۰۱ (رابطه ۱) و با استفاده از بازتابندگی در باندهای مختلف لندست ۸ محاسبه شد [۲۲].

$$\alpha = b_2 * 0.3 + b_3 * 0.277 + b_4 * 0.233 + b_5 * 0.143 + b_6 * 0.36 + b_7 * 0.012 \quad (1)$$

که در آن  $\alpha$  همان آلبیدو و  $b$  باندهای سنجده لندست است. دمای سطح (LST): دمای سطح زمین یکی از پارامترهای کلیدی در برآورد شار حرارتی محسوس و نهان است [۲۲، ۱۸]. دمای سطح با استفاده از باند حرارتی ۱۰ لندست ۸ و با اعمال تصحیحات مربوط به گسیل‌مندی سطح، طبق رابطه (۲) ارائه شده توسط [۲۶، ۲۰، ۱۸] محاسبه شد.

$$LST = (b_1) + \left( b_2 * \left( b_1 / 14380 \right) * (alog(b_3)) \right) \quad (2)$$

LST دمای سطح زمین،  $b_1$  دمای درخشنده باند حرارتی،  $b_2$  رادیانس باند حرارتی و  $b_3$  گسیل‌مندی است.

شاخص پوشش گیاهی (NDVI) : شاخص NDVI یک شاخص طیفی است که به منظور ارزیابی میزان سبزینگی و تراکم پوشش گیاهی مورد استفاده قرار می‌گیرد [۲۶]. این شاخص با استفاده از بازتابندگی در باندهای قرمز و مادون قرمز نزدیک لندست ۸ محاسبه شد.

$$NDVI = \frac{(b_{NIR} - b_R)^2}{(b_{NIR} + b_R)^2} \quad (3)$$

NDVI شاخص گیاهی تفضیلی بهنجار،  $b_{NIR}$  باند مادون قرمز نزدیک و  $b_R$  باند قرمز است.

شاخص سطح برگ (LAI) : شاخص LAI سطح کل برگ‌های گیاهان در واحد سطح زمین را نشان می‌دهد و با فرآیندهای فتوستتر و تعرق گیاهان مرتبط است [۲۷]. با استفاده از رابطه تجربی ارائه شده توسط [۲۸] و بر اساس شاخص NDVI محاسبه شد.

$$LAI = EXP((NDVI + 0.1912)/0.78) \quad (4)$$

در رابطه (۴) LAI شاخص سطح برگ و NDVI شاخص گیاهی تفضیلی بهنجار است.

درصد پوشش (FC): اندازه پوشش سطح خاک است که به وسیله گیاه پوشیده شده است. به عبارتی باید تعیین شود چه درصدی از هر پیکسل به وسیله پوشش گیاهی پوشیده شده است. این پارامتر با استفاده از رابطه (۵) برآورد شد [۲۶].

$$FC = IFF(NDVI < 0.1, 0.05, 1.06 * NDVI - 0.006) \quad (5)$$

در رابطه (۵)، FC درصد پوشش گیاهی و NDVI شاخص گیاهی تفضیلی بهنجار است.

گسیل‌مندی سطح (E): گسیل‌مندی سطح، توانایی سطح در تابش

که در آن  $P$  میزان بارش،  $I$  میزان آبیاری،  $R$  رواناب سطحی و  $\Delta S$  تغییرات ذخیره رطوبتی خاک است. در این پژوهش، به دلیل عدم وجود رواناب سطحی قابل توجه، از این عامل صرف نظر شد و تغییرات ذخیره رطوبتی خاک با استفاده از نمونه برداری از خاک در طول دوره رویشی تعیین شد.

ب) شاخص های ارزیابی: برای کمی سازی میزان تطبیق بین نتایج حاصل از مدل SEBS و روش بیلان آبی خاک، از شاخص های آماری ضریب تبیین ( $R^2$ ) و میانگین قدر مطلق خطای  $(MAE^2)$  استفاده شد [۳۶]. این شاخص ها به صورت روابط ۱۴ و ۱۵ تعریف می شوند.

$$R^2 = \left[ \frac{\sum((O_i - \bar{O})(P_i - \bar{P}))}{\sum(O_i - \bar{O})^2 \sum(P_i - \bar{P})^2} \right]^2 \quad (14)$$

$$MAE = \frac{|P_i - O_i|}{n} \quad (15)$$

که در آن  $O_i$  مقادیر مشاهده شده (حاصل از روش بیلان آبی خاک)،  $P_i$  (مقادیر پیش‌بینی شده) حاصل از مدل SEBS،  $\bar{O}$  میانگین مقادیر مشاهده شده،  $P$  میانگین مقادیر پیش‌بینی شده و  $n$  تعداد داده هاست.

### نتایج

ورودی های لازم مدل شامل آلبیدو، دمای سطح زمین، گسیل مندی، شار حرارتی، شاخص سطح برگ و تاج پوشش گیاهی در محیط نرم افزار ILWIS تهیه شدند (شکل ۳).

تهیه نقشه تبخیر و تعرق روزانه با استفاده از مدل SEBS ابتدای دوره رشد (۲۰۲۰/۱۲/۲۴) (۱۶)

به دلیل محدودیت داده های ماهواره ای با بازه زمانی ۱۶ روزه و فقدان تصاویر مناسب در برخی از دوره ها به علت شرایط جوی نامساعد و ابرناکی، یک بازه زمانی دو برابر (۳۲ روزه) برای تحلیل تبخیر-تعرق در نظر گرفته شد. از آنجایی که هدف، برآورد تبخیر-تعرق واقعی در مقیاس روزانه بود، از روش تبخیر-تعرق گیاه مرجع استفاده شد. به این ترتیب که ابتدا تبخیر و تعرق مرجع برای کل دوره سال آبی محاسبه شد. سپس نسبت  $ET_a/ET_0$  در دوره هایی که تصاویر ماهواره ای در دسترس بودند، تعیین و به عنوان یک عامل مقیاس بندی برای برآورد تبخیر و تعرق در دوره های فاقد تصویر مورد استفاده قرار گرفت. با تجمعی مقادیر تبخیر و تعرق روزانه، میزان تبخیر-تعرق کل سال آبی برآورد شد (شکل ۴)

مدل SEBS از رویکرد شباهت آبیرو دینامیکی برای محاسبه شار حرارتی محسوس استفاده می کند [۳۲]:

$$H = \rho * cp * (T_s - T_a) / rah \quad (10)$$

که در آن  $\rho$  چگالی هوا ( $kg/m^3$ ),  $cp$  ظرفیت حرارتی ویژه هوا در فشار ثابت ( $J/kg/K$ ),  $T_a$  دمای هوا در ارتفاع مشخص ( $K$ ),  $rah$ , ( $m$ ) مقاومت آبیرو دینامیکی ( مقاومتی که هوا در برابر انتقال حرارت از سطح زمین به اتمسفر دارد ( $s/m$ )) است.

شار حرارتی نهان (LE)

پس از محاسبه تابش خالص، شار حرارتی خاک و شار حرارتی محسوس، شار حرارتی نهان با استفاده از معادله تعادل انرژی محاسبه می شود (رابطه ۱۱).

$$LE = R_n - G - H \quad (11)$$

محاسبه مقاومت آبیرو دینامیکی ( $rah$ ) مقاومت آبیرو دینامیکی به پایداری جوی و زیری سطح بستگی دارد و معمولاً با استفاده از رابطه (۱۲) محاسبه می شود [۳۳].

$$Rah = (\ln((z - d) / z_{0m}) - \psi h) / (uk) \quad (12)$$

که در آن،  $z$  (ارتفاع اندازه گیری) یا ارتفاع اندازه گیری دما و سرعت باد ( $m$ ),  $d$  جابجایی صفر ( $m$ ),  $z_{0m}$  زیری آبیرو دینامیکی ( $m$ ),  $\psi$  تابع پایداری (تابعی که اثرات پایداری جوی را در نظر می گیرد) (بی بعد)،  $u$  سرعت باد در ارتفاع  $k$  ( $m/s$ ),  $z$  ( $m$ ) (ثابت فون کارمن) معادل  $0.41$  است.

تعیین نقاط لنگر<sup>۱</sup>

مدل SEBS برای تعیین شار حرارتی محسوس و نهان به دو نقطه لنگر نیاز دارد، یک نقطه "گرم" (خشک) و یک نقطه "سرد" (مرطوب) در نقطه گرم فرض می شود که  $H = R_n - G - LE = 0$  و در نقطه سرد فرض می شود که  $LE = R_n - G - H = 0$ .

انتخاب این نقاط لنگر بر دقت نتایج مدل SEBS تأثیر به سزایی دارد. روش های مختلفی برای انتخاب این نقاط وجود دارد، از جمله استفاده از تصاویر ماهواره ای با وضوح بالا، داده های میدانی و داشت تخصصی منطقه [۳۴].

ارزیابی مدل

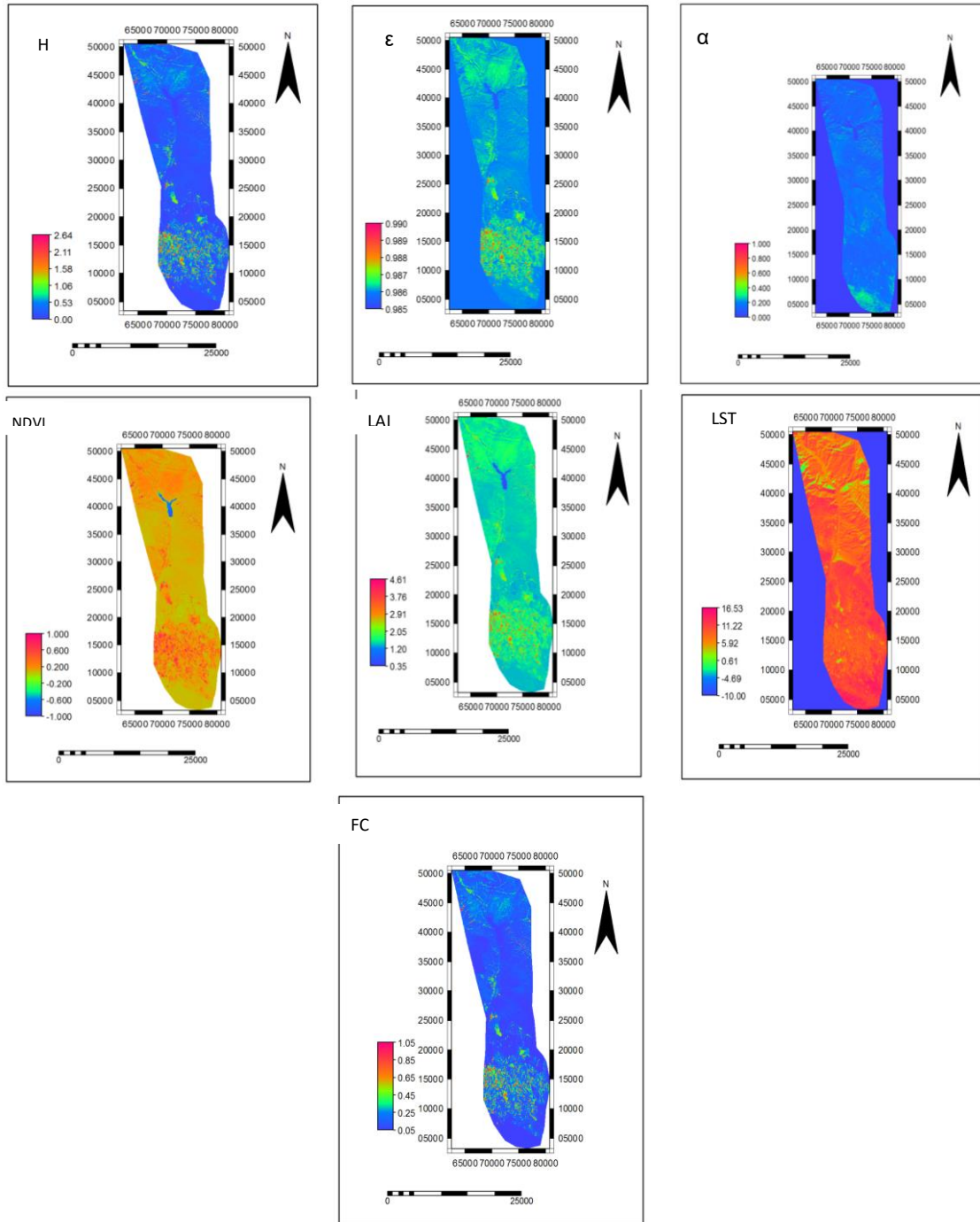
به منظور ارزیابی عملکرد مدل SEBS در تخمین تبخیر و تعرق واقعی، نتایج حاصل از آن با برآوردهای تبخیر و تعرق واقعی حاصل از روش بیلان آبی خاک مقایسه شد.

الف) روش بیلان آبی خاک: در این روش، تبخیر و تعرق واقعی به عنوان باقی مانده معادله بیلان آبی خاک محاسبه می شود (رابطه ۱۳).

$$ET_a = P + I - R - \Delta S \quad (13)$$

### 1. Anchor Points

2. Mean Absolute Error
3. Reference Evapotranspiration Method



شکل ۳- تهیه لایه های ورودی مدل SEBS در ابتدای دوره رشد (۱۲/۲۴/۲۰۲۰) شامل (شار حرارتی محسوس H، گسیمندی ε، آلبیدو  $\alpha$ ، شاخص پوشش گیاهی NDVI، شاخص سطح برگ LAI، دمای سطح LST، درصد پوشش گیاهی FC)

**Fig 3. Preparation of input layers for the SEBS model at the beginning of the growth period (12/24/2020) including (sensible heat flux (H), emissivity (ε), albedo ( $\alpha$ ), Normalized Difference Vegetation Index (NDVI), Leaf Area Index (LAI), Land Surface Temperature (LST), and Fractional Vegetation Cover (FC))**

بررسی نقشه‌ها نشان داد که توزیع تبخیر-تعرق تابعی از پوشش گیاهی، نوع خاک و شرایط توپوگرافی منطقه است. مناطقی با پوشش گیاهی متراکم‌تر دارای مقادیر بالاتری از تبخیر-تعرق بودند [۳۷، ۳۸].

### اثرات پخش سیلاب

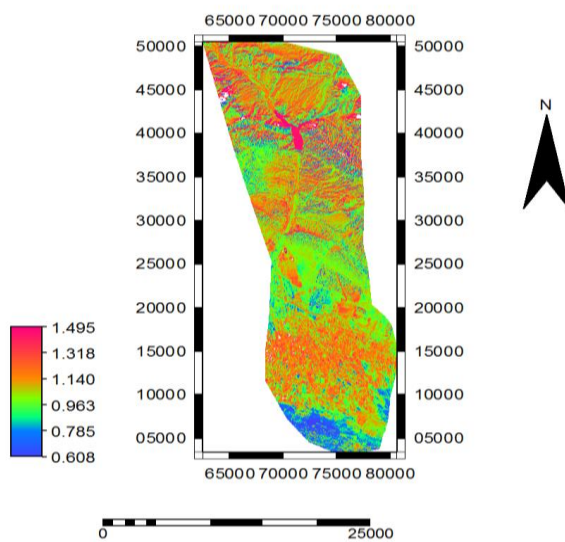
مقایسه مناطق تحت تأثیر پخش سیلاب و مناطق غیرتأثیرپذیر نشان داد که پخش سیلاب باعث کاهش میانگین تبخیر-تعرق به میزان ۱۵ درصد می‌شود. این کاهش به دلیل حفظ رطوبت خاک و افزایش تغذیه آب زیرزمینی در مناطق سیلابی بوده است. این نتایج اهمیت پخش سیلاب را به عنوان یک روش مدیریت منابع آبی برای کاهش مصرف آب در مناطق خشک تأیید می‌کند [۱۱، ۱۲].

### تحلیل شاخص‌های مدل

شاخص‌های آلیدوی سطحی، دمای سطح زمین و شاخص پوشش گیاهی (NDVI) از عوامل کلیدی در عملکرد مدل SEBS بودند. به‌ویژه، افزایش NDVI منجر به افزایش تبخیر-تعرق در مناطق با پوشش گیاهی متراکم شد. [۲، ۳۹].

### SEBS واسنجی مدل

به‌منظور ارزیابی دقت نتایج مدل، داده‌های حاصل از مدل با اندازه‌گیری‌های میدانی مقایسه شدند. در این پژوهش، تبخیر و تعرق واقعی با استفاده از معادله بیلان آبی خاک (رابطه ۱۳) برآورد شد. سپس، مقدار تبخیر و تعرق حاصل از مدل SEBS با مقادیر برآورد شده از طریق معادله بیلان آبی خاک مقایسه شد. نتایج واسنجی مدل نشان داد که تطبیق مناسبی بین تبخیر-تعرق برآورد شده توسط SEBS و داده‌های واقعی وجود دارد (شکل ۵). میانگین خطای مطلق (MAE) برای کل منطقه ۰/۴۸ میلی‌متر در روز است که نشان‌دهنده دقت مناسب مدل در برآورد تبخیر-تعرق است. ضریب تعیین ( $R^2$ ) بین داده‌های مدل و اندازه‌گیری‌های زمینی برابر با ۰/۶۸ محاسبه شد، که حاکمی از ارتباط قوی میان این دو دسته داده است [۱۲، ۷].



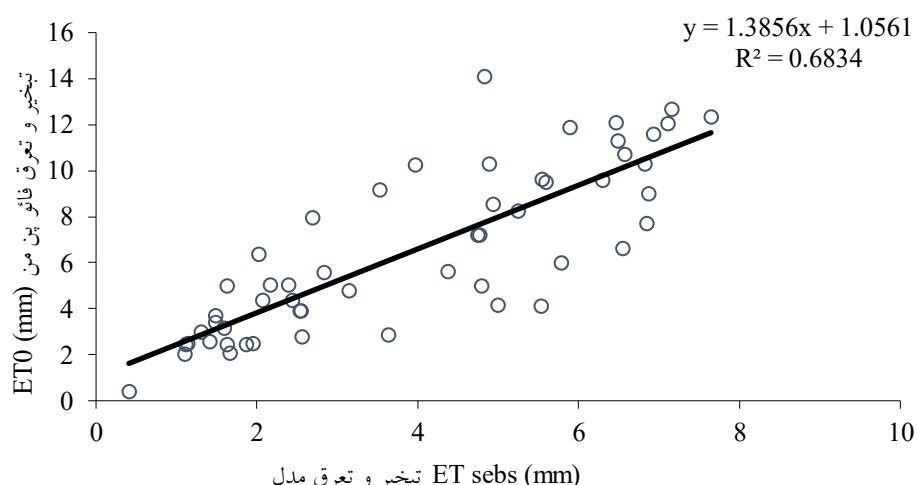
شکل ۴- نقشه تبخیر و تعرق واقعی برآورده شده با استفاده از مدل SEBS در منطقه مطالعاتی مربوط به تاریخ ۲۰۲۰/۱۲/۲۴

Fig4 . Map of actual evapotranspiration estimated using the SEBS model in the study area on 12/24/2020

همان‌طور که در شکل ۴ نشان داده شده است، دامنه تغییرات تبخیر و تعرق در منطقه مورد مطالعه، به طور مستقیم با درصد پوشش گیاهی مرتبط است. به این معنا که با افزایش درصد پوشش گیاهی، میزان تبخیر-تعرق نیز افزایش می‌یابد.

### تحلیل مکانی و زمانی تبخیر-تعرق

نقشه‌های مکانی تبخیر-تعرق نشان دادند که در ابتدای دوره رشد (اسفند) مقادیر تبخیر-تعرق روزانه به‌طور متوسط ۱/۱ میلی‌متر است، در حالی که در اوج فصل رشد (تیرماه) این مقدار به ۶/۸ میلی‌متر در روز افزایش می‌یابد.



شکل ۵- ارتباط ETo فائو پمن-منتیس با تبخیر و تعرق حاصل از مدل SEBS در حالت اجرای معمولی

Fig 5. Relationship between FAO Penman-Monteith ETo and SEBS model-derived ETa under standard execution

## بحث و نتیجه‌گیری

نتایج این تحقیق با یافته‌های مطالعات مشابه در ایران و سایر نقاط جهان مطابقت دارد. در مطالعه Jia و همکاران [۱۷] مدل SEBS برای تخمین تبخیر-تعرق در مناطق ناهمگن با موفقیت اجرا شد و تطابق بالایی با داده‌های زمینی نشان داد. مشابه این مطالعه، تحقیق تفکیک مکانی و زمانی بالایی دارد.

در ایران، پژوهش امیدوار و همکاران [۲۵] در دشت‌های تحت تأثیر پخش سیلاب نیز نشان داد که مدل‌های بیلان انرژی سطحی مانند SEBS می‌توانند جایگزین روش‌های مرسوم مانند لایسیمتر شوند و اطلاعات پنهانی ارزشمندی ارائه دهنده که در مدیریت منابع آب و برنامه‌ریزی منطقه‌ای کاربرد دارد.

مدل SEBS از طریق برآورده تبخیر-تعرق واقعی با استفاده از روابط بیلان انرژی و استفاده از داده‌های سنجش از دور (نظری دمای سطح، آبدو و پوشش گیاهی)، امکان ارائه تخمین‌هایی با دقت بالا را در شرایط متنوع اقلیمی فراهم می‌سازد [۳۰]. یکی از مزایای این مدل، اتکای آن به داده‌های رایگان ماهواره‌ای مانند MODIS و Landsat است که موجب تسهیل در مطالعات طولانی مدت و مقایسه‌پذیر می‌شود. در مناطق خشک و نیمه‌خشک، که ویژگی‌های پوشش گیاهی و نوسانات شدید دمایی از چالش‌های جدی برای برآورده ETo محاسبه می‌شوند، قابلیت مدل SEBS در بازتاب دقیق تنش‌های محیطی، بهویژه از طریق شاخص‌هایی مانند LST و NDVI، مزیت محسوب می‌شود.

افزون بر این، در سال‌های اخیر، تلاش‌هایی برای بهبود دقت مدل SEBS از طریق تلفیق آن با داده‌های میدانی، سامانه‌های مدل‌سازی خاک-گیاه-اتمسفر و همچنین الگوریتم‌های یادگیری ماشین انجام شده است. این تلفیق‌ها به ویژه در شرایطی که دقت تصاویر ماهواره‌ای یا داده‌های هواشناسی پایین است، می‌تواند عدم قطعیت مدل را کاهش دهد. بنابراین، اجرای مدل SEBS در ایران با توجه به دسترسی به داده‌های بومی، تصاویر سنجش از دور و نیز زیرساخت‌های فنی موجود، بستری مناسب برای تحقیقات پیشرفته‌تر در حوزه تبخیر-تعرق و مدیریت منابع آب فراهم می‌سازد.

البته در کنار قابلیت‌ها، این مدل دارای محدودیت‌هایی نیز هست. که کاربران مدل، قبل از اجرای آن، باید به این محدودیت‌ها آگاه باشند و در جهت کاهش تاثیرپذیری پژوهش از آن‌ها، اقدام کنند. یکی از محدودیت‌های اصلی مدل SEBS وابستگی شدید آن به دقت داده‌های ورودی، بهویژه تصاویر ماهواره‌ای است. این مدل برای پارامترهایی مانند دمای سطح، آبدو و تبادلات سطحی به داده‌های بسیار دقیق نیاز دارد. در صورتی که تصاویر ماهواره‌ای با مشکلاتی مانند ابرناکی، تداخلات حرارتی یا خطاهای واسنجی همراه باشند، خروجی مدل به طور قابل توجهی تحت تأثیر قرار می‌گیرد. این موضوع بهویژه در فصول بارندگی یا در مناطقی با پوشش ابری مدام می‌تواند چالش‌های جدی ایجاد کند.

علاوه بر این، اگرچه مدل SEBS به طور نظری برای کاربرد جهانی طراحی شده است، در عمل برای دستیابی به نتایج دقیق‌تر، نیاز به واسنجی محلی دارد. ضرایب و پارامترهای مدل باید با توجه به شرایط خاص هر منطقه، از جمله نوع خاک، پوشش گیاهی و ویژگی‌های ریزاقلیمی، تنظیم شوند. این فرآیند ممکن است نیازمند جمع‌آوری داده‌های میدانی باشد و در صورت عدم انجام آن، دقت نهایی مدل کاهش می‌یابد.

محدودیت دیگر SEBS در این است که برخی فرآیندهای هیدرولوژیکی مهم، مانند نفوذ عمقی آب به داخل خاک و جریان‌های زیرسطحی، در ساختار مدل لحاظ نشده‌اند. تمرکز اصلی مدل بر تبخیر و تعرق سطحی است و بنابراین در مناطقی با ساختار خاک پیچیده یا پوشش گیاهی متراکم، ممکن است نتایج آن دقت کافی نداشته باشد.

در نهایت، پایش پیوسته در شرایط ابری یا در مناطق کوهستانی که تغییرات توپوگرافی شدید وجود دارد، برای مدل SEBS چالش‌برانگیز است. در چنین شرایطی، امکان دسترسی به تصاویر ماهواره‌ای مناسب محدود می‌شود و عملکرد مدل تحت تأثیر قرار می‌گیرد. در این موارد، استفاده از روش‌های مکمل نظیر داده‌های راداری یا مدل‌های هیدرولوژیکی ترکیبی می‌تواند ضروری باشد. در انجام این پژوهش مراحل مختلف به شرح مواد و روش‌ها در کاهش محدودیت‌ها رعایت شد. در نهایت چنان‌که گفته شد نتایج اعتبارسنجی حاکی از عملکرد قابل اعتماد مدل در منطقه مطالعاتی است. براساس نتایج حاصل از این تحقیق می‌توان گفت پخش سیلاب علاوه بر کاهش تبخیر-تعرق، تأثیر مثبتی بر کیفیت خاک و تغذیه سفره‌های زیرزمینی دارد. نتایج این تحقیق نشان داد که در مناطق تحت تأثیر سیلاب، میزان مصرف آب گیاهان کاهش یافته و پایداری منابع آبی بهبود یافته است. این یافته‌ها با مطالعات مشابه در مناطق خشک ایران، مانند دشت نیشابور [۴۰] همخوانی دارد.

نتایج این پژوهش نشان داد که مدل SEBS ابزاری قدرتمند برای برآورده تبخیر-تعرق واقعی در مناطق خشک، از جمله دشت چنداب تهران، به شمار می‌آید. واسنجی این مدل با استفاده از داده‌های محلی و تصاویر ماهواره‌ای، تطابق قابل قبولی با داده‌های واقعی نشان داد و اعتبار نتایج را تقویت کرد. همچنین یافته‌ها نشان دادنده که پخش سیلاب می‌تواند نقش کلیدی در کاهش میزان تبخیر-تعرق و بهبود مدیریت منابع آب ایفا کند.

در راستای توسعه تحقیقات آتی، پیشنهاد می‌شود که دوره زمانی مطالعه گسترش یابد تا تغییرات بلندمدت تبخیر-تعرق واقعی و تأثیر سال‌هایی با شدت سیلاب متفاوت مورد بررسی قرار گیرد. همچنین مقایسه نتایج حاصل از مدل SEBS با سایر مدل‌های بیلان انرژی می‌تواند به درک بهتر عملکرد این مدل کمک کند. علاوه بر این، بررسی دقیق‌تر تأثیر پخش سیلاب بر سایر اجزای بیلان آب، نظیر نفوذ و تغذیه آبخوان، از طریق به کارگیری مدل‌های هیدرولوژیکی یکپارچه یا جمع‌آوری داده‌های میدانی بیشتر، می‌تواند زمینه را برای

- Remote sensing of environment, 24(3), 459-479 %@ 0034-4257.
8. Chen, X., Su, Z., Ma, Y., Yang, K., Wen, J., & Zhang, Y. 2013. An Improvement of Roughness Height Parameterization of the Surface Energy Balance System (SEBS) over the Tibetan Plateau. Journal of Applied Meteorology and Climatology, 52(3), 607-622. <https://doi.org/10.1175/jamc-d-12-056.1>
  9. Chen, Y., Liang, S., Ma, H., Li, B., He, T., & Wang, Q. 2021. An all-sky 1 km daily land surface air temperature product over mainland China for 2003–2019 from MODIS and ancillary data. Earth System Science Data, 13(8), 4241-4261. <https://doi.org/10.5194/essd-13-4241-2021>
  10. Derardja, B., Khadra, R., Abdelmoneim, A. A. A., El-Shirbeny, M. A., Valsamidis, T., De Pasquale, V., Deflorio, A. M., & Volden, E. 2024. Advancements in Remote Sensing for Evapotranspiration Estimation: A Comprehensive Review of Temperature-Based Models. Remote Sensing, 16(11). <https://doi.org/10.3390/rs16111927>
  11. Ghiat, I., Mackey, H. R., & Al-Ansari, T. 2021. A Review of Evapotranspiration Measurement Models, Techniques and Methods for Open and Closed Agricultural Field Applications. Water, 13(18). <https://doi.org/10.3390/w13182523>
  12. Hasmadi, M., Pakhriazad, H. Z., & Shahrin, M. F. 2009. Evaluating supervised and unsupervised techniques for land cover mapping using remote sensing data. Geografia: Malaysian Journal of Society and Space, 5(1), 1-10 %@ 2180-2491.
  13. He, Z., Jia, G., Liu, Z., Zhang, Z., Yu, X., & Xiao, P. 2020. Field studies on the influence of rainfall intensity, vegetation cover and slope length on soil moisture infiltration on typical watersheds of the Loess Plateau, China. Hydrological Processes, 34(25), 4904-4919 %@ 0885-6087.
  14. Healy, R. W. 2010. Estimating groundwater recharge. Cambridge university press.
  15. Huang, M., & Zhang, L. 2004. Hydrological responses to conservation practices in a catchment of the Loess Plateau, China. Hydrological Processes, 18(10), 1885-1898. <https://doi.org/10.1002/hyp.1454>
  16. Irons, J. R., Dwyer, J. L., & Barsi, J. A. 2012. The next Landsat satellite: The Landsat Data Continuity Mission. Remote sensing of environment, 122, 11-21. <https://doi.org/10.1016/j.rse.2011.08.026>
  17. Jia, L., Xi, G., Liu, S., Huang, C., Yan, Y., & Liu, G. 2009. Regional estimation of daily to annual regional evapotranspiration with MODIS data in the Yellow River Delta wetland. . Hydrology and earth system sciences, 13(10), 1775-1787.

تحلیل‌های جامع‌تر فراهم آورد.  
سپاسگزاری

نویسنده‌گان از همراهی تمام کسانی که در این پژوهه همکاری داشتند تشکر و قدردانی می‌کنند.

### تضاد منافع نویسنده‌گان

"نویسنده‌گان این مقاله اعلام می‌کنند که هیچ‌گونه تضاد منافعی در خصوص نگارش و انتشار مطالب و نتایج این پژوهش ندارند."

### دسترسی به داده‌ها

"داده‌ها و نتایج این پژوهش از طریق مکاتبه با نویسنده مسئول در دسترس قرار خواهد گرفت."

### مشارکت نویسنده‌گان

رحمان شریفی: تحقیقات میدانی، تحلیل داده‌ها  
فاطمه بزرگی: نگارش مقاله، مرور متابع، بازنویسی و تحلیل  
قباد رستمی زاد: نرم افزار، تحلیل داده‌ها

### منابع مورد استفاده

1. Adam, E., Mutanga, O., & Rugege, D. 2010. Multispectral and hyperspectral remote sensing for identification and mapping of wetland vegetation: a review. Wetlands ecology and management, 18, 281-296 %@ 0923-4861.
2. Adib, A., & Mahmoodi, A. 2017. Prediction of suspended sediment load using ANN GA conjunction model with Markov chain approach at flood conditions. KSCE Journal of Civil Engineering, 21, 447-457.
3. Allen, R. G., Tasumi, M., & Trezza, R. 2007. Satellite-based energy balance for mapping evapotranspiration with internalized calibration (METRIC)—Model. Journal of irrigation and drainage engineering, 133(4), 380-394 %@ 0733-9437.
4. Baret, F., & Guyot, G. 1991. Potentials and limits of vegetation indices for LAI and APAR assessment. Remote sensing of environment, 35(2-3), 161-173 %@ 0034-4257.
5. Bernstein, L. S., Jin, X., Gregor, B., & Adler-Golden, S. M. 2012. Quick atmospheric correction code: algorithm description and recent upgrades. Optical engineering, 51(11), 111719-111719 %@ 110091-113286.
6. Brutsaert, W. (2013). Evaporation into the atmosphere: theory, history and applications (Vol. 1 %@ 9401714975). Springer Science & Business Media.
7. Chavez Jr, P. S. 1988. An improved dark-object subtraction technique for atmospheric scattering correction of multispectral data.

- Physics and Chemistry of the Earth, Part B: Hydrology, Oceans and Atmosphere, 25(2), 147-157 %@ 1464-1909.
30. Rostamizad, G., Pakparvar, M., Abdinejad, P. . 2023. Evaluation and Calibration of SEBS Surface Energy Balance Model in Determining Evapotranspiration of Plains Affected by Flood Spreading )Qaracherian-Zanjan Province). Watershed Management Research, 36(3), 17-31. <https://doi.org/10.22092/WMRJ.2023.360611.1503>
  31. Rouse, J. W., Haas, R. H., Schell, J. A., & Deering, D. W. 1974. Monitoring vegetation systems in the Great Plains with ERTS. NASA Spec. Publ, 351(1), 309.
  32. Senay, G. B., Bohms, S., Singh, R. K., Gowda, P. H., Velpuri, N. M., Alemu, H., & Verdin, J. P. (2013). Operational Evapotranspiration Mapping Using Remote Sensing and Weather Datasets: A New Parameterization for the SSEB Approach. JAWRA Journal of the American Water Resources Association, 49(3), 577-591. <https://doi.org/10.1111/jawr.12057>
  33. Su, Z. (2002). The Surface Energy Balance System (SEBS) for estimation of turbulent heat fluxes. Hydrology and earth system sciences, 6(1), 85-100 %@ 1607-7938.
  34. Valor, E., & Caselles, V. 1996. Mapping land surface emissivity from NDVI: Application to European, African, and South American areas. Remote sensing of environment, 57(3), 167-184 %@ 0034-4257.
  35. Voogt, J. A., & Oke, T. R. 2003. Thermal remote sensing of urban climates. Remote sensing of environment, 86(3), 370-384 %@ 0034-4257.
  36. Watson, D. J. 1947. Comparative physiological studies on the growth of field crops: I. Variation in net assimilation rate and leaf area between species and varieties, and within and between years. Annals of botany, 11(41), 41-76 %@ 0305-7364.
  37. Weng, Q., Lu, D., & Schubring, J. 2004. Estimation of land surface temperature–vegetation abundance relationship for urban heat island studies. Remote sensing of environment, 89(4), 467-483 %@ 0034-4257.
  38. Willmott, C. J. 1982. Some comments on the evaluation of model performance. Bulletin of the American Meteorological Society, 63(11), 1309-1313 %@ 0003-0007.
  39. Wu, B., Zhu, W., Yan, N., Xing, Q., Xu, J., Ma, Z., & Wang, L. 2020. Regional Actual Evapotranspiration Estimation with Land and Meteorological Variables Derived from Multi-Source Satellite Data. Remote Sensing, 12(2). <https://doi.org/10.3390/rs12020332>
  40. Yang, P., Liu, L., & Cheng, Y. 2024. Temporal and spatial characteristics of evapotranspiration in Dawen River Basin based on SEBS model.
  18. Jones, H. G. 1992. Plants and microclimate: a quantitative approach to environmental plant physiology.
  19. Kazemi M, & Jafarpoor A. 20205. Multi Temporal Land use/Land cover using Spectral indices, Sentinel-2 Imagery and Migrated Training Samples in Google Earth Engine. Iranian Journal of Watershed Management. 18 (67) : 1. (In Persian).
  20. Kustas, W. P., & Daughtry, C. S. T. 1990. Estimation of the soil heat flux/net radiation ratio from spectral data. Agricultural and forest meteorology, 49(3), 205-223 %@ 0168-1923.
  21. Li, Z. L., Tang, R., Wan, Z., Bi, Y., Zhou, C., Tang, B., Yan, G., & Zhang, X. 2009. A review of current methodologies for regional evapotranspiration estimation from remotely sensed data. Sensors (Basel), 9(5), 3801-3853. <https://doi.org/10.3390/s90503801>
  22. Liang, S. 2001. Narrowband to broadband conversions of land surface albedo I: Algorithms. Remote sensing of environment, 76(2), 213-238 %@ 0034-4257.
  23. Mahdavi Vafa, H., & Golbabaei, H. 2009. Economic and social evaluation of the Chendab aquifer in Pakdasht County from the perspective of villagers. Proceedings of the 5th National Conference on Watershed Engineering and Natural Science in Iran: Sustainable Disaster Management (In Persian).
  24. Monteith, J., & Unsworth, M. 2013. Principles of environmental physics: plants, animals, and the atmosphere. Academic press.
  25. Omidvar J., Davary, S. N., K, Sanaei-Nejad, H., Farid hosseini, A. 2013. Estimation of actual evapotranspiration based on satellite images using two algorithms Sebal and Metric. Scientific-Research Quarterly of Irrigation and Water Engineering, 3(12), 11-22
  26. Pakparvar, M., Cornelis, W., Pereira, L. S., Gabriels, D., HosseiniMarandi, H., Edraki, M., & Kowsar, S. A. 2014. Remote sensing estimation of actual evapotranspiration and crop coefficients for a multiple land use arid landscape of southern Iran with limited available data. Journal of Hydroinformatics, 16(6), 1441-1460 %@ 1464-7141.
  27. Pareeth, S., & Karimi, P. 2023. Evapotranspiration estimation using Surface Energy Balance Model and medium resolution satellite data: An operational approach for continuous monitoring. Sci Rep, 13(1), 12026. <https://doi.org/10.1038/s41598-023-38563-2>
  28. Parivash, P., Davari, K., Faridhosseini, A., & Majidi, M. . 2015. Estimation of actual evapotranspiration using a combination of remote sensing data and SEBAL algorithm (Case study: Neyshabur plain). Journal of Water and Soil, 29(5), 1234–1245.
  29. Roerink, G. J., Su, Z., & Menenti, M. 2000. S-SEBI: A simple remote sensing algorithm to estimate the surface energy balance.